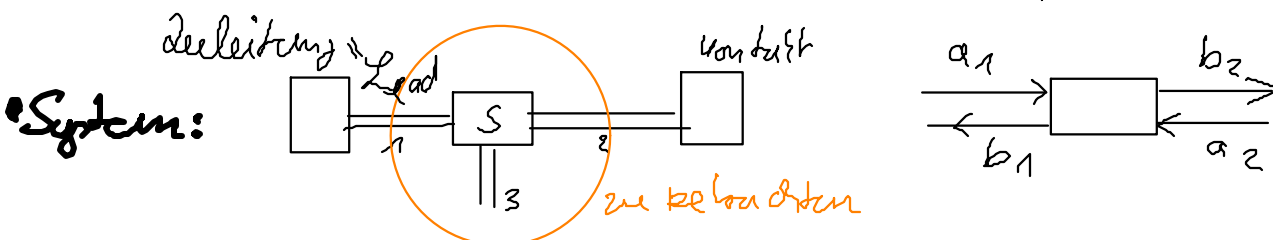


3 Anwendungen der Streutheorie des Leitwertes

3.1 Greensche Funktion und die Spurformel der Transmission

• **Bisher:** $I_p = \sum_{p < q} G_{p < q} (V_p - V_q)$

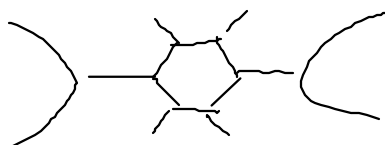
$G_{p < q} = \frac{2e^2}{h} T_{p < q}$; $T_{p < q} = \sum_{m \in q} \sum_{n \in p} T_{nm}$



$T_{nm} = |S_{nm}|^2$; $b^i = S a^i$; S unitäre Streumatrix

• **Ziel:** Konkrete Berechnung der Streumatrix eines (beliebig geformten) Streuers

z.B. Molekül



• S -Matrix ist Antwort bei Lead x aufgrund von Anregung bei anderem Lead y

• G -Funktion ist Antwort bei Ort \vec{r} aufgrund von Anregung bei \vec{r}'

• **Annahme:** nicht wechselwirkende Elektronen $L \ll L_m, L_p$

⇒ kohärenter Transport

⇒ exakte S und G durch Lösen der Schrödingergleichung

Literatur: Economou, Green's Functions in Quantum Physics

$(z - L(\vec{r})) u(\vec{r}) = f(\vec{r})$ (*) inhomogene DGL

↑ komplex

$L(\vec{r})$ Differentialoperator

Hier: zeitunabh., linear und hermitesch

Definierte Greensche Fkt:

$(z - L(\vec{r})) G(\vec{r}, \vec{r}', z) = \delta(\vec{r} - \vec{r}')$

Lösung von (*): $u(\vec{r}) = \int_{-\infty}^{\infty} d\vec{r}' G(\vec{r}, \vec{r}', z) f(\vec{r}')$

$L(\mathbb{R}) \phi_n(\mathbb{R}) = \kappa_n \phi_n(\mathbb{R})$ $\{\phi_n(\mathbb{R})\}$ bilden vollst. orthogonale Basis

$\int d^3r' \phi_n^* \phi_m = \delta_{nm}$ und $\sum_n \phi_n^* \phi_n = \delta^3(\mathbb{R} - \mathbb{R}')$

• wie im QM:

$\phi_n(\mathbb{R}) = \langle r | \phi_n \rangle$ $\phi_n^*(\mathbb{R}) = \langle \phi_n | r \rangle$

$\delta^3(\mathbb{R} - \mathbb{R}') = L(\mathbb{R}) = \langle r | L | r' \rangle$

$L = |r\rangle \langle r|$
 $A_{ij} = \delta_{ij} A_i = \langle i | A | j \rangle = \langle i | j \rangle \langle i | A | i \rangle$
 δ_{ij}

$\psi(\mathbb{R}, \mathbb{R}', z) = \langle r | G | r' \rangle$

$\langle r | r' \rangle = \delta^3(\mathbb{R} - \mathbb{R}')$ $\int d^3r |r\rangle \langle r| = 1$

$(z - L) \psi = 1$

$L | \phi_n \rangle = \kappa_n | \phi_n \rangle$; $\langle \phi_n | \phi_m \rangle = \delta_{nm}$, $\sum_n | \phi_n \rangle \langle \phi_n | = 1$

$\psi = \frac{1}{z - L}$ " oder $\psi(z) = \frac{1}{z - L} \sum_n | \phi_n \rangle \langle \phi_n | = \sum_n \frac{| \phi_n \rangle \langle \phi_n |}{z - \kappa_n}$

Neumannentwicklung
 $\langle \mathbb{R} | (z - L) \int d^3r' | r' \rangle \langle r' | \psi | r'' \rangle$
 $= \int d^3r' \delta^3(\mathbb{R} - \mathbb{R}') (z - L) \langle r' | \psi | r'' \rangle$
 $= (z - L) \psi(\mathbb{R}, \mathbb{R}', z) = \langle r | r'' \rangle$

• $\psi(z)$ hat Polstellen bei $\kappa_n = z$ bestimmen der (diskreten) Eigenwerte von L

• retarded FF: $\psi^r(\mathbb{R}, \mathbb{R}', \kappa) = \lim_{\epsilon \rightarrow 0^+} \psi(\mathbb{R}, \mathbb{R}', \kappa + i\epsilon)$

• advanced FF: $\psi^a(\mathbb{R}, \mathbb{R}', \kappa) = \lim_{\epsilon \rightarrow 0^+} \psi(\mathbb{R}, \mathbb{R}', \kappa - i\epsilon)$

Schritt 1 $\psi^a(\mathbb{R}, \mathbb{R}', z) = \left(\sum_n \frac{\phi_n(\mathbb{R}) \phi_n^*(\mathbb{R}')}{z - \kappa_n} \right)^*$ κ_n reell da L hermitesch
 $= \psi^r(\mathbb{R}', \mathbb{R}, z^*)$

$\psi^a(\mathbb{R}, \mathbb{R}', \kappa) = \psi^r(\mathbb{R}', \mathbb{R}, \kappa)$

$\lim_{y \rightarrow 0^+} \frac{1}{x \pm iy} = \rho \frac{1}{x} \mp i\pi \delta(x)$

Spektralfunktion $A(\mathbb{R}, \mathbb{R}', E) = i(\psi^r - \psi^a)$

lokale Zustandsdichte $\rho(\mathbb{R}, E) = \frac{1}{2\pi} A(\mathbb{R}, \mathbb{R}', E) = \mp \frac{1}{\pi} \text{Im} \left[\psi^a(\mathbb{R}, \mathbb{R}', E) \right]$


Zustandsdichte $N(E) = \frac{1}{2\pi} \sqrt{\text{tr}(A(\tilde{r}, \tilde{r}', E))} = \frac{1}{2\pi} \int d\tilde{r} A(\tilde{r}, \tilde{r}', E)$

$$= \mp \frac{1}{\pi} \text{Im}[\text{tr}(\mathcal{G}^{\pm}(\tilde{r}, \tilde{r}', E))]$$

Beispiel: 1D-Draht bei konst. Potential $U = U_0$

$$(E - (-\frac{\hbar^2}{2m} \frac{d^2}{dx^2} + U_0)) \mathcal{G}(x, x') = \delta(x - x')$$

$$\mathcal{G}(x, x') = \begin{cases} A^+ \exp[ik(x-x')] & x > x' \\ A^- \exp[-ik(x-x')] & x < x' \end{cases} \quad \text{mit } k = \frac{\sqrt{2m(E-U_0)}}{\hbar}$$

• Anschlussbed: (rotiert)  x

$$\mathcal{G}(x, x') \Big|_{x=x'+} = \mathcal{G}(x, x') \Big|_{x=x'-} \Rightarrow A^+ = A^-$$

$$\frac{\partial \mathcal{G}}{\partial x} \Big|_{x=x'+} - \frac{\partial \mathcal{G}}{\partial x} \Big|_{x=x'-} = \frac{2m}{\hbar^2} \Rightarrow ik(A^+ + A^-) = \frac{2m}{\hbar^2}$$

$$\Rightarrow A^+ = -\frac{i}{\hbar v} \quad \text{mit } v = \frac{\hbar k}{m}$$

$$\mathcal{G}^+(x, x') = \frac{i}{\hbar v} \exp[ik|x-x'|]$$

• Zweite Lösung: (rotiert) 

$$\mathcal{G}^-(x, x') = -\frac{i}{\hbar v} \exp[-ik|x-x'|]$$

• oder über $\mathcal{G}^{\pm}(E) = \frac{1}{E \pm i\eta - H}$

• Randbedingungen: $\eta > 0$

$$(E - U_0 + \frac{\hbar^2}{2m} \frac{d^2}{dx^2} \pm i\eta) \mathcal{G}^{\pm}(x, x') = \delta(x - x')$$

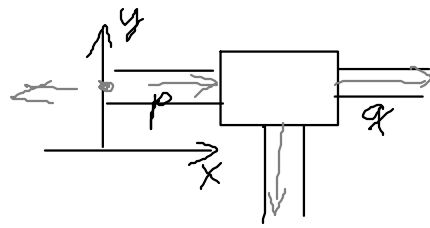
$$k' = \frac{\sqrt{2m(E \pm i\eta - U_0)}}{\hbar} = \frac{\sqrt{2m(E - U_0)}}{\hbar} \sqrt{1 \pm \frac{i\eta}{E - U_0}}$$

$$\approx k \left(1 + \frac{i\eta}{2(E - U_0)}\right) = k \cdot (1 + i\delta)$$

\mathcal{G}^{\pm} wäre nicht beschränkt für $|x-x'| \rightarrow \infty$

$$\mathcal{G}^{\pm}(E) = (E \pm i\eta - H)^{-1} \quad |i\eta\rangle = \langle \phi_i | H | \phi_j \rangle$$

Relation S-Matrix \leftrightarrow Y-grenze Fkt.



$$Y_{qp} = S_{qp}^- A_p^- + S_{qp}^+ A_p^+$$

$$A_p^+ = A_p^- = -\frac{i}{\sqrt{v_p}}$$

$$S_{qp}^+ = S_{qp}^- \sqrt{\frac{v_p}{v_q}}$$

$$Y_{qp} = -S_{qp}^- \frac{i}{\sqrt{v_p}} - \sqrt{\frac{v_p}{v_q}} S_{qp}^- \frac{1}{\sqrt{v_p}} = -S_{qp}^- \frac{i}{\sqrt{v_p}} - \frac{i}{\sqrt{v_p v_q}} S_{qp}^-$$

$$S_{qp} = -\sqrt{v_p v_q} Y_{qp}$$